

圖 3.1 over-relaxed 方法示意圖。

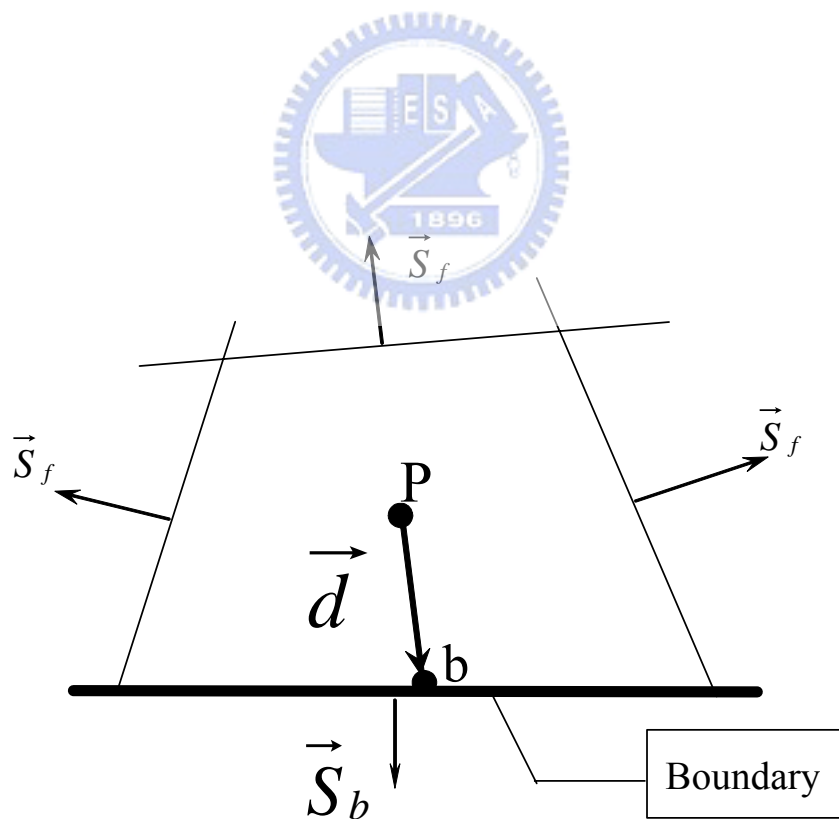


圖 3.2 計算邊界上壓力示意圖。

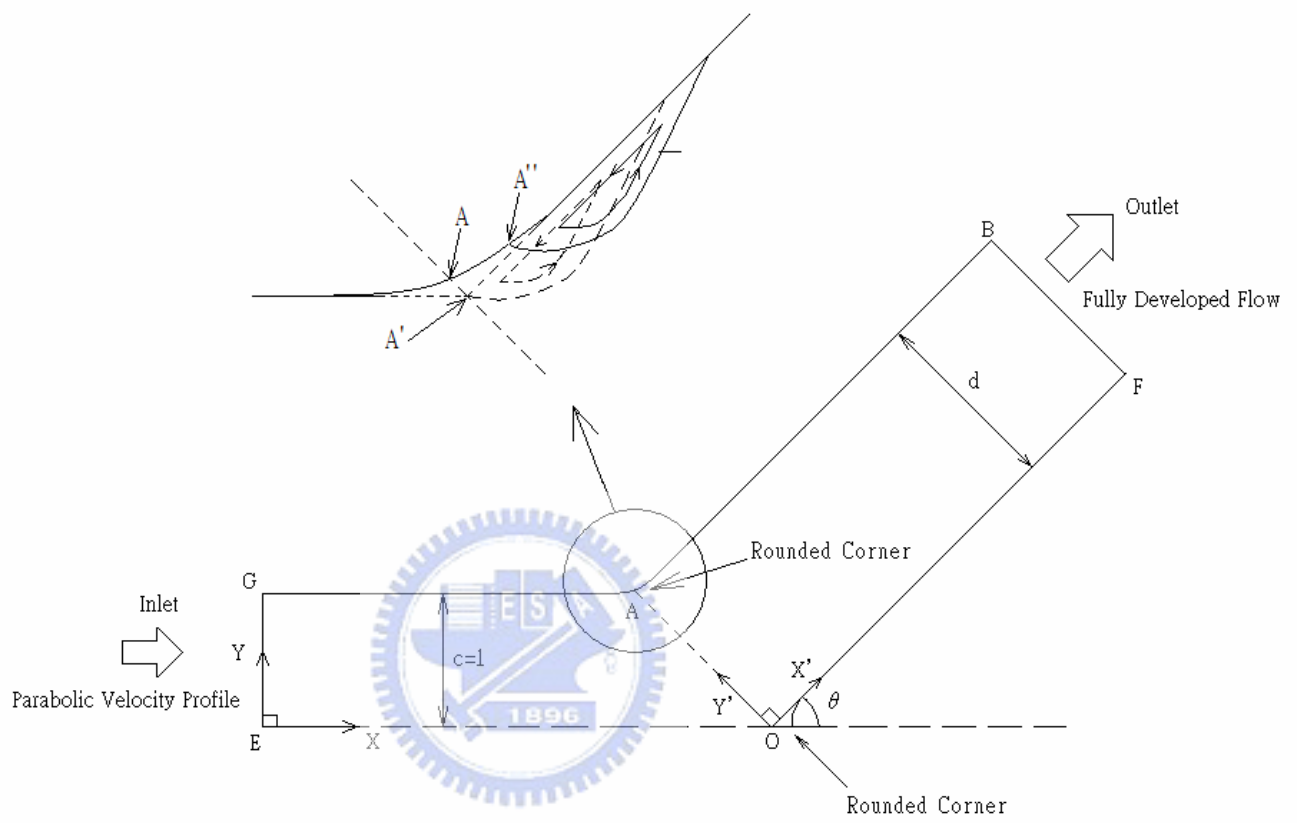
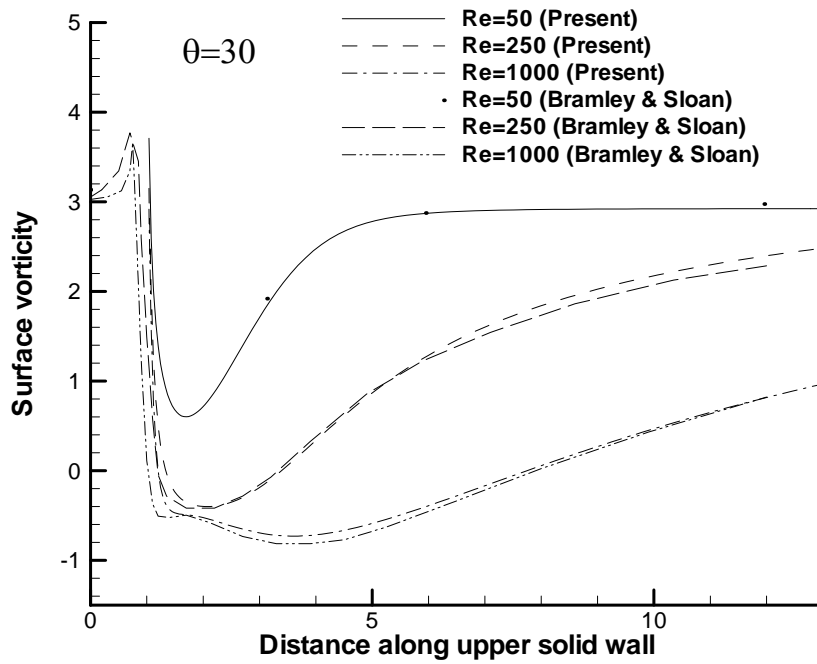
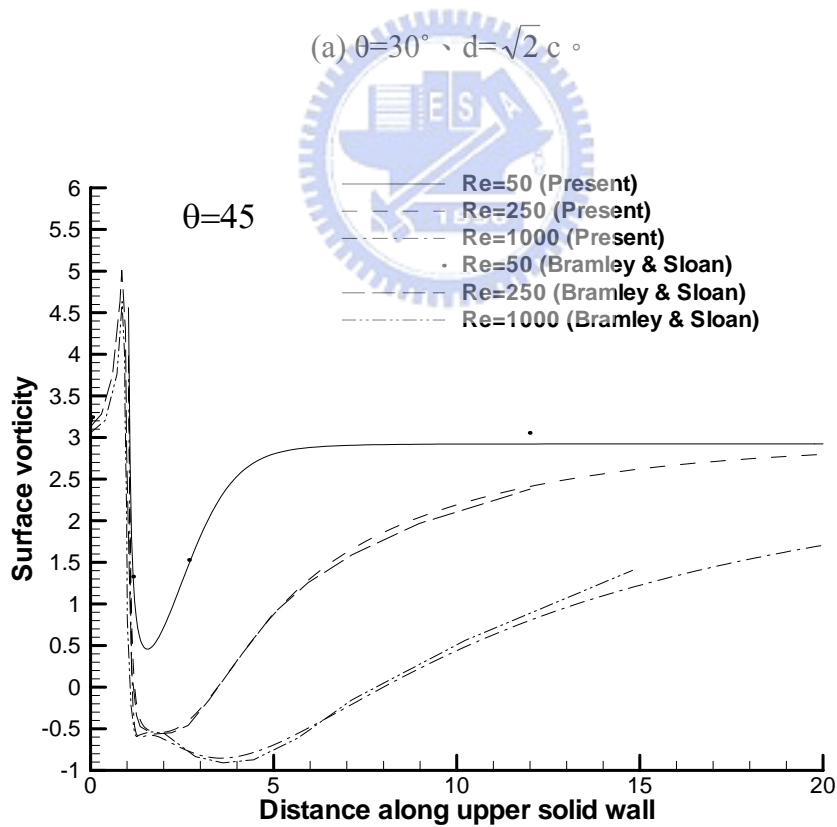


圖 4.1 本文與 Bramley & Sloan 之 Y 型流道示意圖。

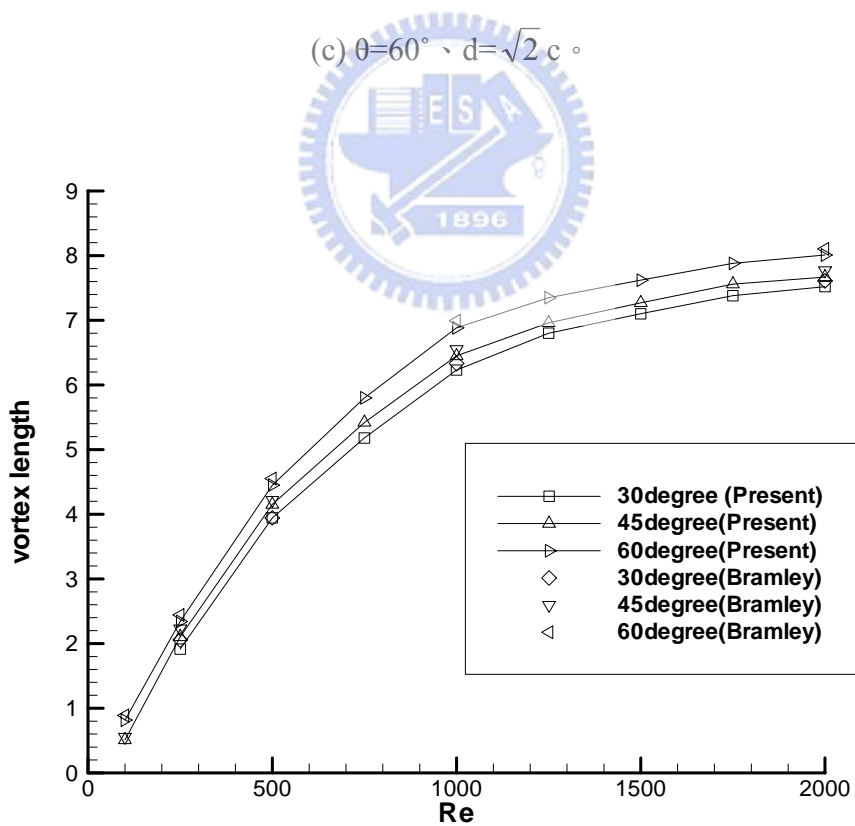
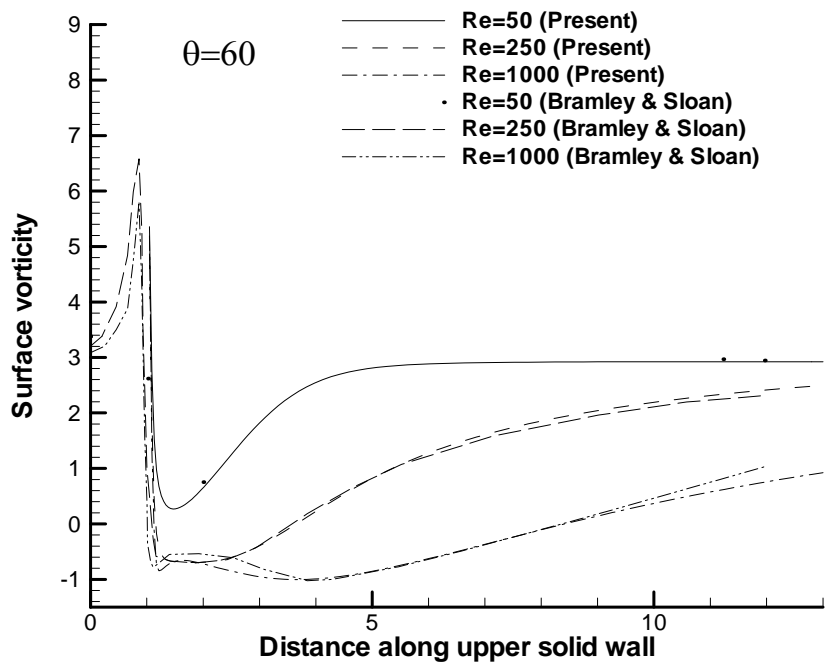


(a) $\theta=30^\circ$ 、 $d=\sqrt{2}c$ 。



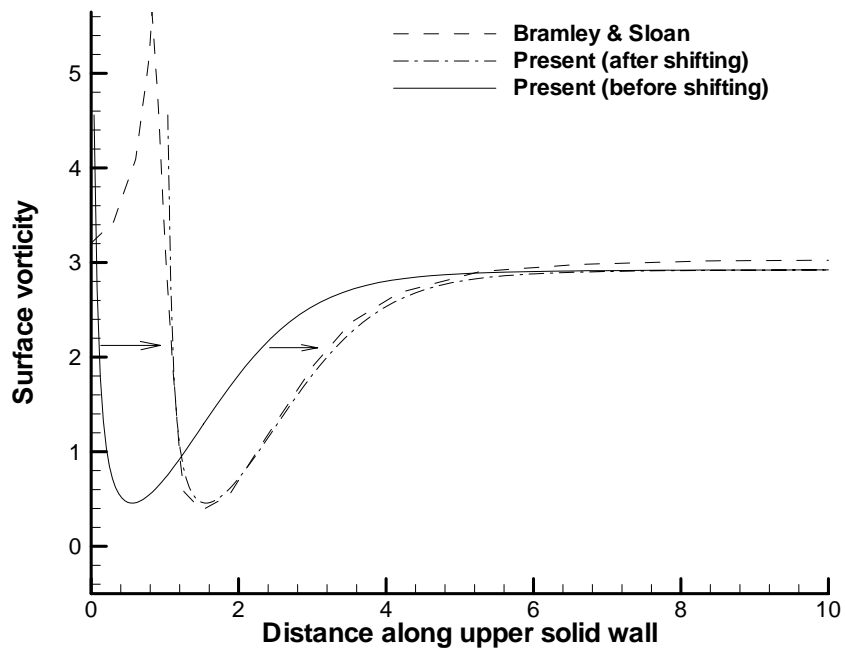
(b) $\theta=45^\circ$ 、 $d=\sqrt{2}c$ 。

圖 4.2 本文與 Bramley 和 Sloan 驗證的結果。



(d) 迴流長度隨夾角 θ 的變化情形。

圖 4.2 本文與 Bramley 和 Sloan 驗證的結果。



(e) $\theta=45^\circ$ 、 $Re=50$ 時，表面渦度平移的示意圖。



圖 4.2 本文與 Bramley 和 Sloan 驗證的結果。

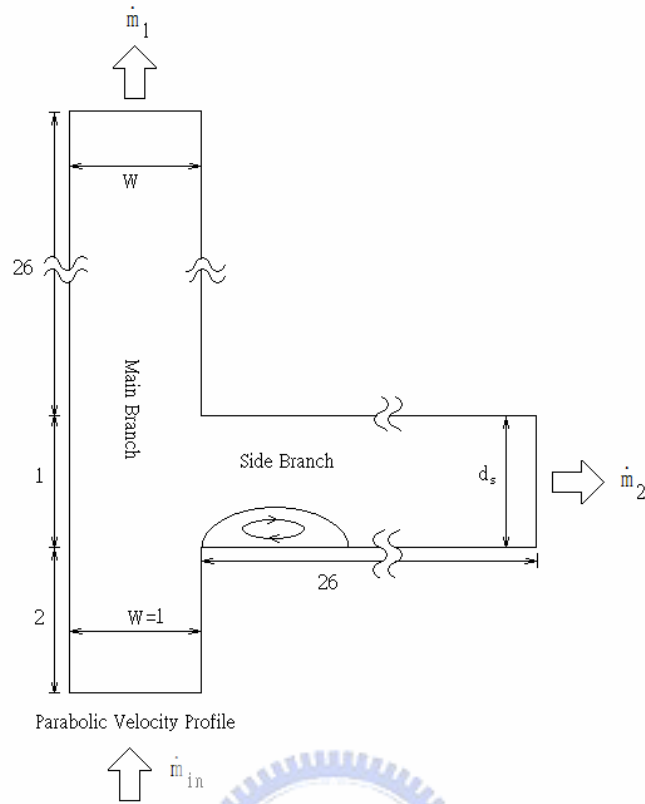


圖 4.3 Hayes 等人之 T 型流道示意圖。

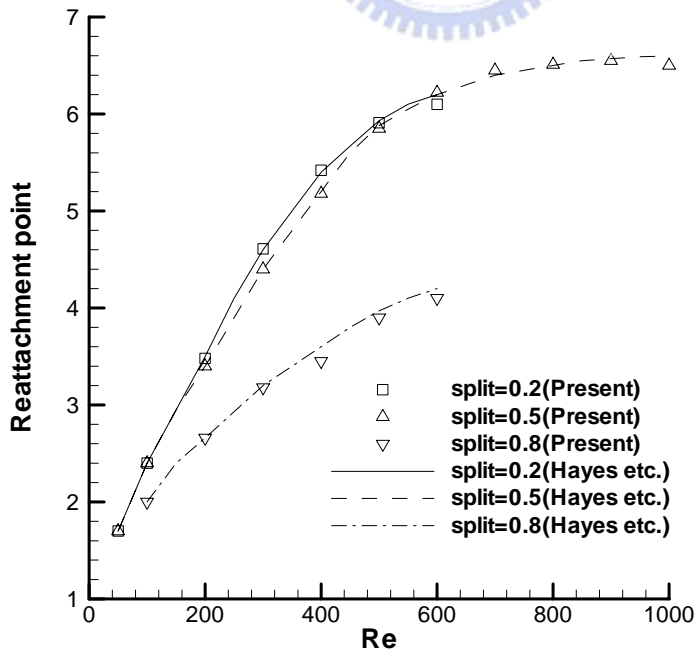


圖 4.4 本文與 Hayes 等人驗證的結果。

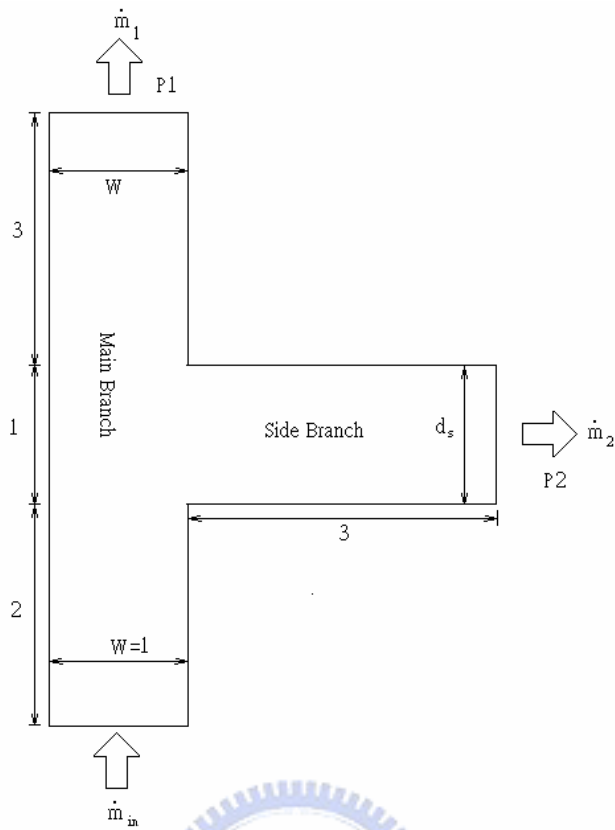


圖 4.5 Kelkar 和 Choudhury 之 T 型流道示意圖。

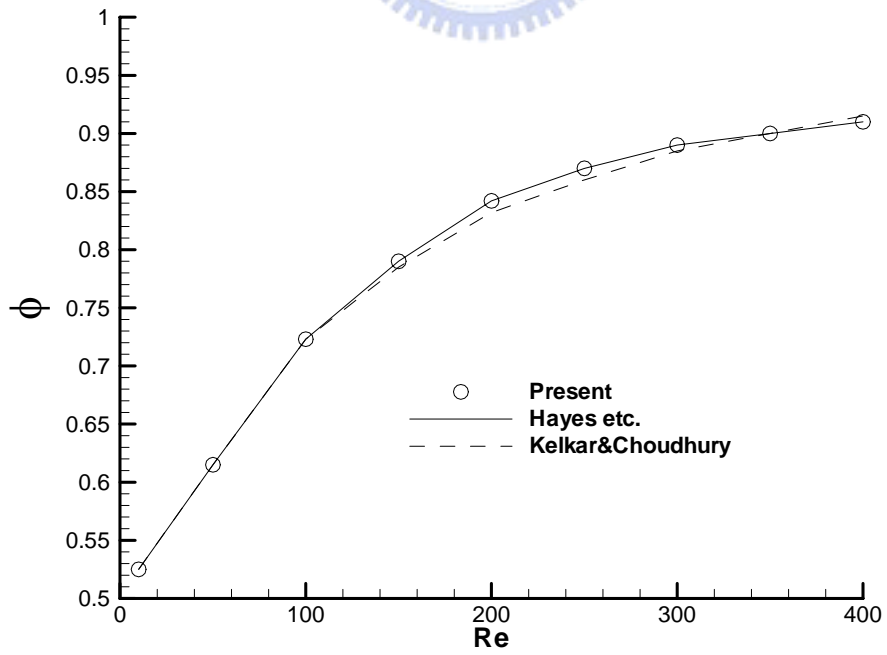


圖 4.6 本文與 Kelkar 和 Choudhury 之 T 型管流場驗證的結果。

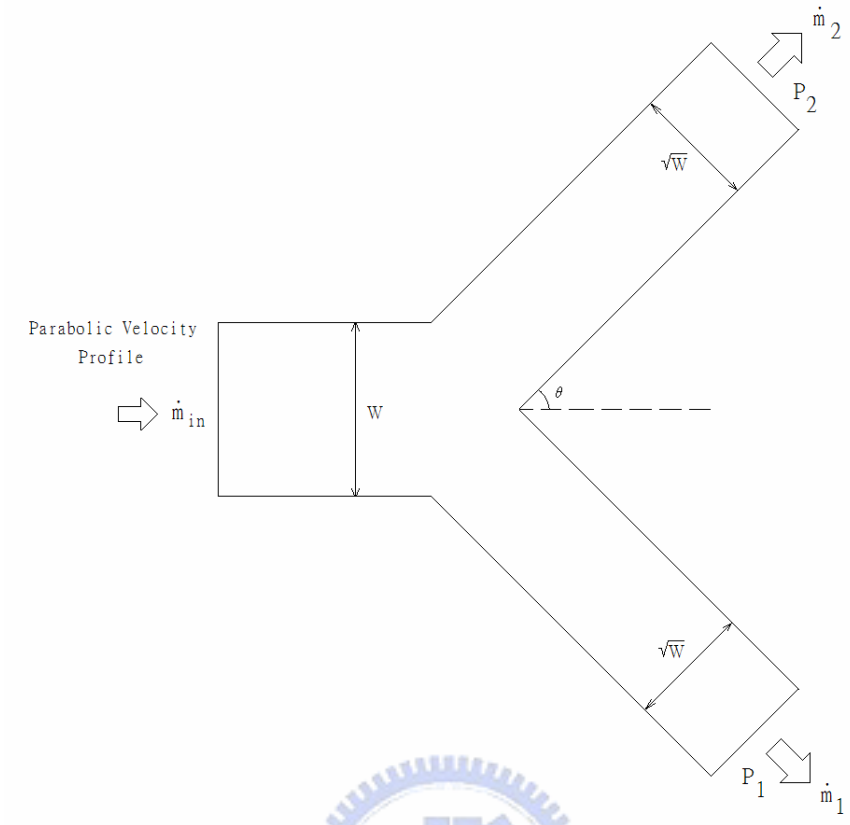


圖 4.7 Kelkar 之 Y 型網格示意圖。

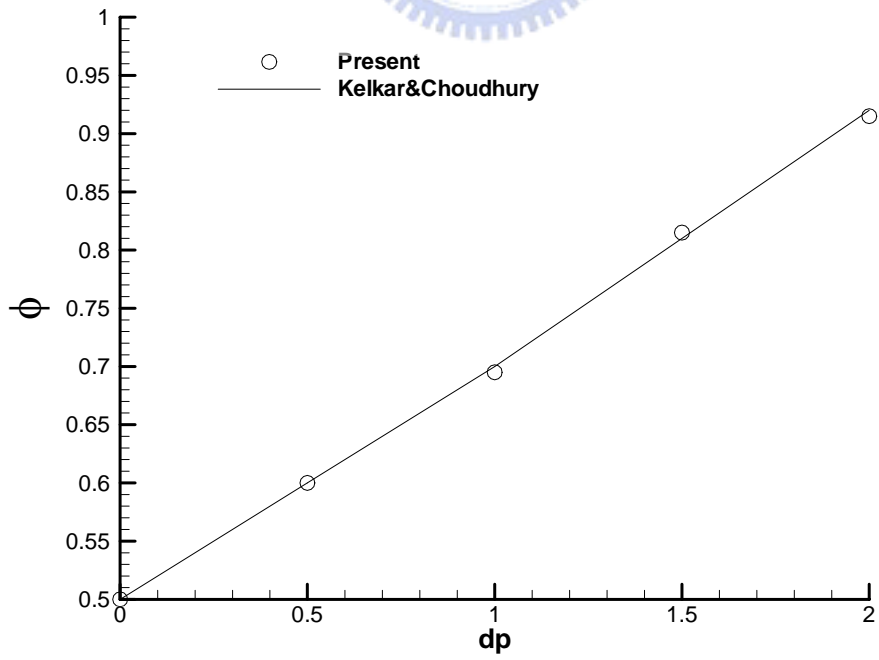


圖 4.8 本文與 Kelkar 和 Choudhury 之 Y 型管流場驗證的結果。

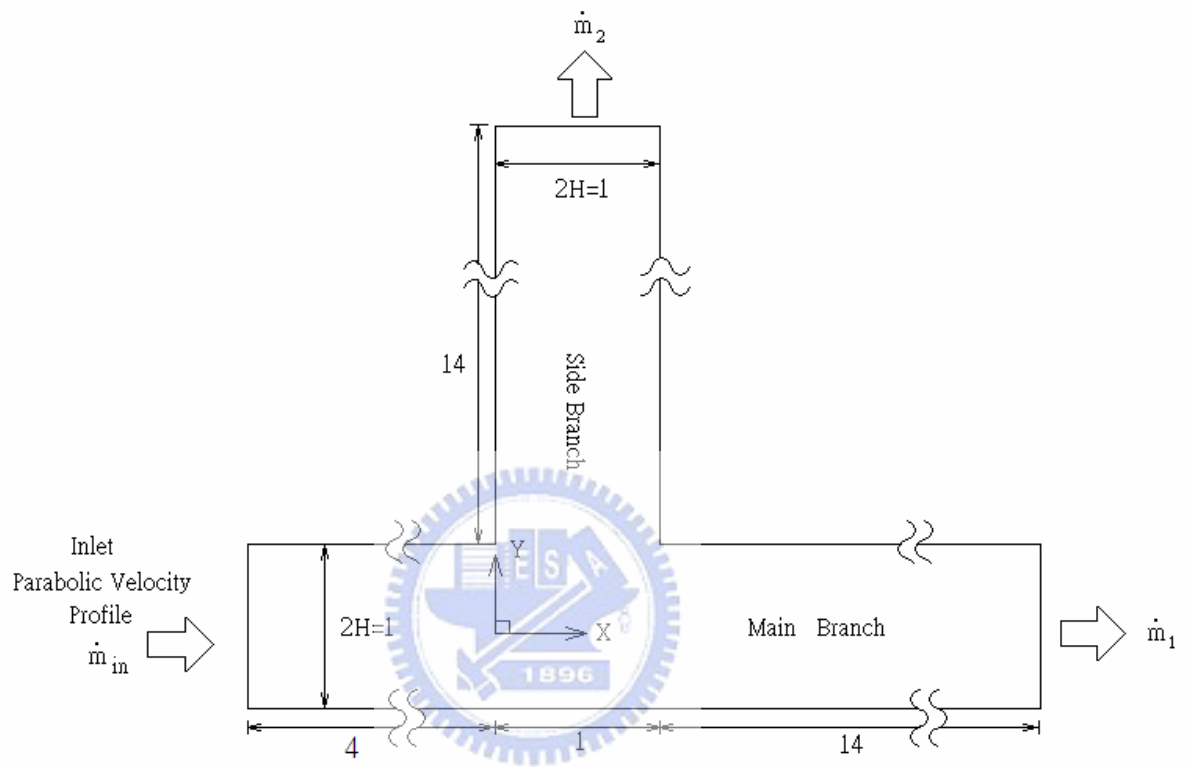


圖 4.9 Liepsch 等人之 T 型流道示意圖。